

## ПОЛЯРИЗАЦИЯ ФОТОЛЮМИНЕСЦЕНЦИИ С ПОВЕРХНОСТИ ГЕТЕРОСТРУКТУРЫ АЛ<sub>1-x</sub>В<sub>x</sub> С ПРОФИЛИРОВАННОЙ ПОДЛОЖКОЙ

Аверкиев Н. С., Кушкимбаева Б. Ш., Кютт Р. Н.,  
Матвеев Б. А., Стусь Н. М., Талалакин Г. Н., Чайкина Е. И.

На основе представлений о квазиодноосном характере деформации в гетероструктуре с подложкой, профилированной в виде швеллера, экспериментально и теоретически изучено распределение деформации в неизопериодных гетероструктурах InGaSbAs/GaSb и InAsSbP/InAs. Получено соответствие величин остаточных деформаций, определенных из измерений поляризации фотолюминесценции и брэгговского асимметричного отражения.

1. В работе [1] было показано, что профилирование подложки в виде швеллера с осью в направлении [112] в структурах InGaSbAs/GaSb (111) приводит к появлению квазиодноосного характера анизотропии деформации на поверхности образца и к поляризации люминесцентного излучения, регистрируемого с поверхности структуры. Величина и знак поляризации люминесцентного излучения зависят от несоответствия периодов решеток эпитаксиального слоя (ЭС) и подложки, что может быть использовано для исследования деформированного состояния неизопериодных структур, в том числе градиентных. Однако ранее было проведено лишь качественное рассмотрение проблемы, позволяющее определить только знак деформации кристалла.

2. Для получения зависимости степени линейной поляризации излучения полупроводника *p*-типа проводимости ( $\rho$ ) от деформации необходимо знать волновые функции и спектр состояния акцептора в зависимости от шести независимых компонент тензора деформации  $\varepsilon_{ij}$ . В общем виде для кристаллов кубической симметрии решение этой задачи приведено в [2]. Для получения СЗСПИ  $[\rho(h\nu) = (J_{11} - J_1)/(J_{11} + J_1)]$ , выходящего с поверхности структуры, выражение для интенсивности излучения необходимо преобразовать применительно к системе координат, привязанной к исследуемой структуре, изображенной на вставке к рис. 1, где ось *X* направлена параллельно плоскости [112], *Y* — [110], *Z* — [111].

В новой системе координат компоненты тензора деформации выражаются через диагональные члены  $\varepsilon_{ii}$ , и выражение для степени линейной поляризации имеет следующий вид:

$$\rho(h\nu) = A + 4\Delta \left( \frac{1}{kT} - \gamma + \frac{d \ln J(h\nu)}{dh\nu} \right) B, \quad (1)$$

$$A = \frac{J_y(\Delta) - J_x(\Delta) + J_y(-\Delta) - J_x(-\Delta)}{J_y(\Delta) + J_x(\Delta) + J_y(-\Delta) + J_x(-\Delta)}, \quad (1a)$$

$$B = \frac{J_x(-\Delta) J_y(\Delta) - J_y(-\Delta) J_x(\Delta)}{J_x(\Delta) + J_y(\Delta) + J_x(-\Delta) + J_y(-\Delta)^2}, \quad (1b)$$

$$J_x(\Delta) = \frac{3(\Delta + 3/2b\delta)^2 + 2d^2\varepsilon_0^2 + d^2(\varepsilon_0 + 2/3\delta)^2 + \frac{2}{\sqrt{3}}(\Delta + 3/2b\delta)(2/3\delta - 3\varepsilon_0)d}{\Delta(\Delta + 3/2b\delta)}, \quad (1b)$$

$$J_y(\Delta) = \frac{(\Delta + \frac{3}{2}bd)^2 + 6d^2\mathcal{E}_0^2 + 3d^2(\mathcal{E}_0 + \frac{2}{3}\delta)^2 + \frac{6}{\sqrt{3}}(\Delta + \frac{3}{2}bd)(\frac{2}{3}\delta - 3\mathcal{E}_0)d}{\Delta(\Delta + \frac{3}{2}bd)}, \quad (1)$$

$$\Delta = \sqrt{\frac{9}{4}b^2\delta^2 + 2\delta^2\mathcal{E}_0 + d^2(\mathcal{E}_0 + \frac{2}{3}\delta)^2}, \quad (1d)$$

$$\delta = \frac{\mathcal{E}_{xx} - \mathcal{E}_{yy}}{3}, \quad \mathcal{E}_0 = \frac{|\mathcal{E}_{zz} - \mathcal{E}_{xx}|}{3},$$

$b, d$  — константы деформационного потенциала акцептора,

$$\gamma = (f_{I_1}^2 - f_{I_2}^2) / f_{I_1}^2,$$

$f_{m,j}$  — медленно меняющаяся функция в представлении волновой функции дырок в методе эффективных масс.

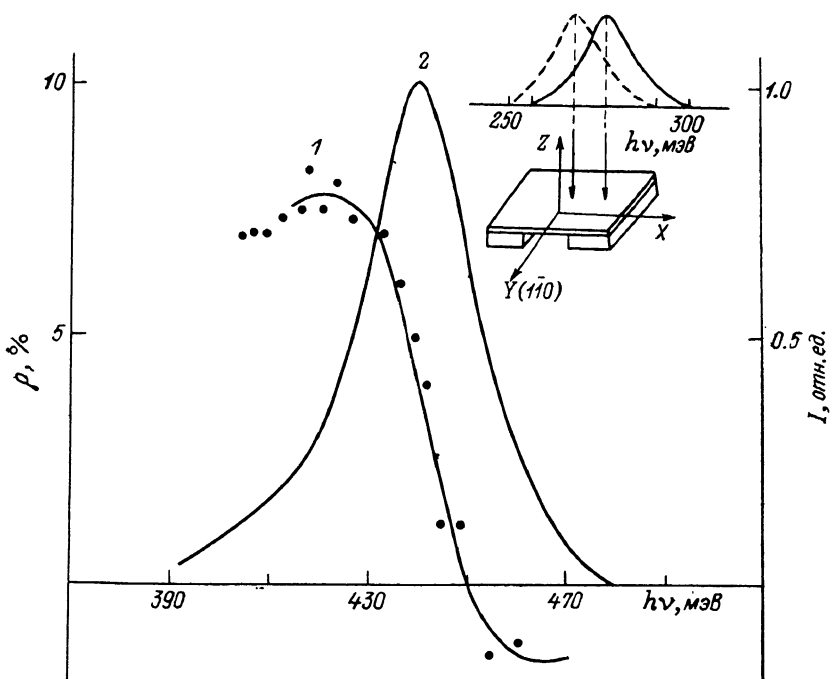


Рис. 1. Спектральная зависимость степени линейной поляризации (1) и интенсивности фотолюминесценции (2) ЭС гетероструктуры InAsSbP/InAs, сопряженного с канавкой ( $T=77$  К).

На вставке — схема образца, стрелками показаны области измерения спектров ФЛ.

Величина  $\rho$ , как видно из полученного выражения, определяется искажением решетки ( $\mathcal{E}_{xx} - \mathcal{E}_{yy}$ ), т. е. анизотропной деформации в плоскости, параллельной ГР. Для непрофилированной структуры ( $\mathcal{E}_{xx} = \mathcal{E}_{yy}$ ) формула (1д) определяет расщепление акцепторного уровня при одноосной деформации в направлении [111] [3]

$$4\Delta = \frac{2}{3}d\mathcal{E}_0.$$

Результатом появления анизотропии деформации в плоскости (111) профилированной структуры должно являться также изменение ширины запрещенной зоны, поскольку при этом меняется объем элементарной ячейки кристалла [2]:

$$\Delta E_g = (\mathbb{E}_n + a)(\text{Sp } \mathcal{E}^{H_i} - \text{Sp } \mathcal{E}^{H_0}), \quad (2)$$

где  $\mathcal{E}^{H_0}$  — тензор деформации непрофилированной структуры,  $\mathcal{E}^{H_i}$  — тензор деформации профилированной структуры в области с измененной толщиной подложки [ $H_i = (t_i + c_i)/2$ , где  $t$  — толщина ЭС,  $c_i$  — толщина подложки, на ребрах жесткости  $i=0$ , в области канавки  $i \geq 1$ ].

В первом приближении можно считать, что в гетероструктуре типа швейлера деформация кристалла в направлении  $Y$  сохраняется, т. е.  $\mathcal{E}_{yy}^{H_0}(z) = \mathcal{E}_{yy}^{H_i}(z)$ ,

$$\mathcal{E}_{yy}^{H_i}(z) = \frac{\Delta a(z)}{a} - \frac{1}{H_i} \int_{-H_i}^{H_i} \frac{\Delta a(z) dz}{a} - \frac{3z}{2H^3} \int_{-H_i}^{H_i} \frac{\Delta a(z) zdz}{a}, \quad (3)$$

$\Delta a(z)$  — несоответствие периодов решеток ЭС и InAs.

При полном удалении подложки в канавке ( $H_i = t_i/2$ ) деформация ЭС в области, сопряженной с канавкой в плоскости, параллельной ГР, является однородной:

$$\mathcal{E}_{zz}^{H_i}(z) = \mathcal{E}_{xx}^{H_i}(z) = -\nu \mathcal{E}_{yy}^{H_0}(z), \quad (3a)$$

$\nu$  — коэффициент Пуассона.

При частичном удалении подложки в области канавки ( $H_i > t/2$ ) компоненты тензора деформации определяются линейной интерполяцией

$$\mathcal{E}_{xx}^{H_i}(z) = -\nu \mathcal{E}_{yy}^{H_0}(z) + (1 + \nu) \mathcal{E}_{yy}^{H_i}(z), \quad (3b)$$

$$\mathcal{E}_{zz} = -\frac{\nu}{1 - \nu} (\mathcal{E}_{xx} + \mathcal{E}_{yy}),$$

$i=1, 2, \dots$ , а совокупностью соотношений (1)–(1д) и (3б) описывается зависимость  $\rho$  от  $\Delta a$ .

3. Исследовалась эпитаксиальная структура  $InAs_{1-x}Sb_xInAs$  (111) с составом на гетерогранице  $x=0.06$  и 0.096 на поверхности и толщинами слоя и подложки 90 и 350 мкм соответственно. В образце площадью  $10 \times 12$  мм химическим травлением удалялась часть подложки в виде полоски шириной 3 мм, направленной вдоль оси [110] (см. вставку на рис. 1).

Для оценки компонент деформации  $\mathcal{E}_{ii}$  использовались рентгенодифракционные измерения брэгговского асимметричного отражения (531) на  $CuK_\alpha$ -излучении, что обеспечивало глубину проникновения  $\sim 2$  мкм. На трехкристальном спектрометре с помощью анализатора определялась разница углов отражения  $\Delta (2Q_\beta) = 2Q_\beta - 2Q_\alpha$  для двух положений образца, различающихся или положением рабочей точки на поверхности, или углом азимутального поворота. Величина  $\Delta (2Q_\beta)$  обусловлена относительной разностью межплоскостных расстояний  $d_{531}$ , связанных в свою очередь с компонентами тензора деформации  $\mathcal{E}_{ii}$ . Для случая, когда плоскость рассеяния совпадает с плоскостью (211), параллельной оси канавки для двух точек на поверхности, в области канавки в центре образца (i) и вне ее (0)

$$\frac{d_{531}^{(i)} - d_{531}^{(0)}}{d_{531}} = (\mathcal{E}_{xx}^i - \mathcal{E}_{xx}^0) \cos^2 \varphi + (\mathcal{E}_{yy}^i - \mathcal{E}_{yy}^0) \sin^2 \varphi, \quad (4)$$

где  $\varphi$  — угол между плоскостями (531) и поверхностью (111). Разница компонент деформации  $\mathcal{E}_{xx}$  определялась по симметричному брэгговскому отражению (333):  $\mathcal{E}_{xx}^i - \mathcal{E}_{xx}^0 = (2.7 \pm 0.3) \cdot 10^{-4}$ . Тогда различие величин  $\mathcal{E}_{yy}$  в области канавки и вне ее равно  $\mathcal{E}_{yy}^i - \mathcal{E}_{yy}^0 \sim (1 \div 3) \cdot 10^{-4}$ . При аналогичных измерениях асимметричного отражения взаимно перпендикулярных азимутальных положений образца в области канавки получено  $\mathcal{E}_{xx}^i - \mathcal{E}_{yy}^0 = 1 \cdot 10^{-3}$ .

Таким образом, рентгенодифракционные измерения показывают, что создание профиля толщины подложки с геометрией, описанной выше, действительно приводит к появлению квазиодносной деформации в плоскости, параллельной ГР, при сохранении компонент  $\mathcal{E}_{yy}$ .

4. Исследовались эпитаксиальные структуры  $p-InAsSbP/n-InAs$  (111) и  $p-InGaSbAs/GaSb$ , выращенные методом ЖФЭ, аналогично [1, 4].

Фотолюминесценция регистрировалась с поверхности структуры с профилированной подложкой в направлении нормали к границе раздела. Фотолюминесценция возбуждалась лазером с  $\lambda = 0.48$  мкм в центральной части ЭС и регистрировалась фотосопротивлением из PbS ( $\lambda < 2$  мкм) или фотодиодом на основе  $InAsSbP/InAs$  ( $\lambda < 3.5$  мкм) [5].

Профилирование подложки в гетероструктурах вплоть до полного ее уда-

ления в области канавки осуществлялось селективным химическим травлением. На рис. 1 представлены спектральные зависимости интенсивности  $\Phi_L$  и степени линейной поляризации излучения  $\rho(\hbar\nu)$  ЭС профилированной структуры  $p\text{-InAsSbP}/n\text{-InAs}$  (111) ( $p \sim n \sim 10^{16} \text{ см}^{-3}$ ), подложка в которой в области канавки была полностью вытравлена. Излучение обусловлено переходами зона проводимости—акцептор [6]. Толщина подложки в ребрах жесткости составляла  $c_0=285 \text{ мкм}$ , ЭС  $t=24 \text{ мкм}$ . Состав ЭС  $\text{InAs}_{1-x-y}\text{Sb}_x\text{P}_y$  на границе раздела  $x=-0.049$ ,  $y=0.124$ , на поверхности слоя  $x=0.051$ ,  $y=0.100$ . Период решетки

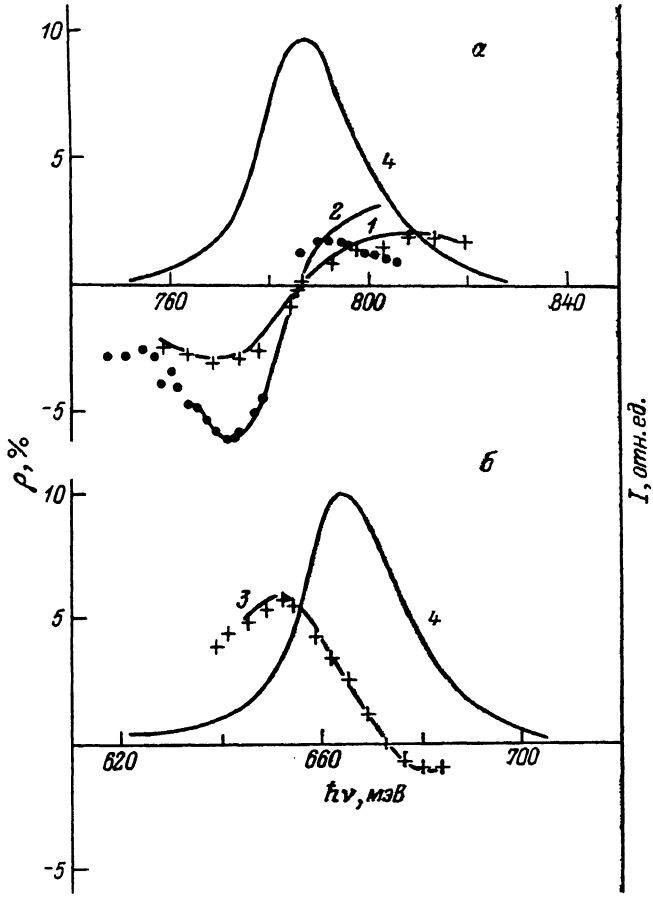


Рис. 2. Спектральные зависимости степени линейной поляризации (1—3) и интенсивности фотолюминесценции (4) подложки GaSb ( $T=77 \text{ К}$ ) (a) и ЭС гетероструктуры InGaAsSb (b) для двух значений толщины GaSb и области канавки —  $c_1=80$  (1) и  $c_2=25 \text{ мкм}$  (2, 3).

ЭС, согласно интерполяционной оценке, возрастал от  $6.026 \text{ \AA}$  на ГР до  $6.082 \text{ \AA}$  на поверхности. Из наилучшего согласия экспериментальной  $\rho^0(\hbar\nu)$  (рис. 1) и теоретической  $\rho^1(\hbar\nu)$  [формулы (1)—(1д)] зависимостей был определен варьируемый параметр  $(\beta\Delta)=0.12 \text{ мэВ}$ . С использованием формул (1)—(1д) определено значение остаточной упругой деформации на поверхности ЭС  $(\mathcal{E}_{yy}^0)_t=0.464 \cdot 10^{-3}$ . Была также вычислена величина начальной деформации на поверхности ЭС  $(\mathcal{E}_{yy}^0)=0.408 \cdot 10^{-3}$  в предположении линейного изменения постоянной решетки в направлении роста ЭС ( $\text{grad } a=\text{const}$ ). Использовались интерполяционные значения  $\Delta a(x, y)$  и формула (3) для определения деформации в структуре с соизмеримыми толщинами слоя и подложки. Хорошее соответствие между величинами  $(\mathcal{E}_{yy}^0)_t$  и  $(\mathcal{E}_{yy}^0)_f$  свидетельствует о малой степени пластической деформации в данной структуре ( $(\mathcal{E}_a \rightarrow 0)$  и согласуется с тем, что при деформациях меньше критической  $(\mathcal{E})_f < 0.2 \%$  дислокации несоответствия в материалах A<sup>III</sup>B<sup>V</sup> не образуются или снимают малую часть начальной деформации [7].

Отметим, что на рентгеновской топограмме ЭС были видны лишь отдельные дислокации несоответствия, разделенные областями без сеток дислокаций.

5. На рис. 2 представлены спектр фотолюминесценции и спектральная зависимость степени линейной поляризации излучения  $p^0(h\nu)$  с поверхности ЭС  $\text{Ga}_{1-x}\text{In}_x\text{Sb}_{1-y}\text{As}_y$  и подложки GaSb(Ge) при ее поэтапном профилировании. Спектр ФЛ в обоих случаях представляет собой одну линию, соответствующую переходам зона проводимости—акцептор в GaSb(Ge) и зона—зона для ЭС. Толщина подложки 200 мкм, эпитаксиального слоя — 8 мкм. Состав твердого раствора на ГР  $x=0.130$ ,  $y=0.110$ , на поверхности ЭС  $x=0.130$ ,  $y=0.075$ . Согласно интерполяционной оценке, на ГР и на поверхности слоя несоответствия периодов решетки составляли  $\Delta a_1=0.0024$  и  $\Delta a=0.021$  Å. Наилучшее согласие экспериментальной зависимости  $p^0(h\nu)$  с расчетной имеет место при  $(B\Delta)_{11}^0=-0.081$  мэВ (спектр подложки при толщине GaSb в области канавки  $c_1=80$  мкм),  $(\Delta B)_{12}^0=0.053$  мэВ (спектр ЭС) и  $(B\Delta)_{22}^0=0.121$  мэВ (при толщине GaSb в области канавки  $c_2=25$  мкм), индекс  $i=1, 2, \dots$  в величине  $(B\Delta)_{ik}^0$  определяет порядковый номер числа травлений,  $k=1, 2$  — индекс слоя и подложки соответственно.

Возможная ошибка при использовании полученной формулы в случае перехода зона—зона связана с частотной зависимостью  $\gamma$ , которая будет определяться в этом случае частотной зависимостью волновых функций свободных дырок. Однако наши оценки и результаты работы [8] показывают, что изменением  $\gamma$  с  $h\nu$  можно пренебречь.

Полученные экспериментальные значения  $(B\Delta)_{ik}^0$  позволили составить систему уравнений  $(B\Delta)_{ik}^0-(B\Delta)_{jk}^0=0$ , решение которой с использованием формул (1)—(1д), (3) и предположения  $\text{grad } a=\text{const}$  дает значения несоответствия периодов решетки  $\Delta a_1=0.0007$  и  $\Delta a_2=0.008$  Å. Отметим, что  $\Delta a_1$  и  $\Delta a_2$  для  $\text{Ga}_{1-x}\text{In}_x\text{Sb}_{1-y}\text{As}_y$ , полученные из эксперимента, оказались в 3 раза меньше, чем  $\Delta a$ , полученные интерполяционным расчетом. Это свидетельствует о пластической релаксации большей (~70 %) части напряжений несоответствия. Действительно, значение начальной деформации на поверхности ЭС ( $\mathcal{E}_0^0 \sim 0.35$  %) превышает величину предельной упругой деформации материалов АШВ<sup>4</sup>, что приводит к генерации сетки 60-градусных дислокаций, аккомодирующих несоответствие периодов решетки и хорошо различимых на рентгеновских топограммах ЭС. Аналогичные результаты были получены на структурах InAsSbP/InAs, где  $\mathcal{E}_0^0 \approx 0.7$  % [9].

6. Таким образом, профилирование подложки в виде швеллера приводит к одноосной деформации в плоскости, параллельной ГР, что подтверждается рентгенодифракционными и поляризационными измерениями на профилированных гетероструктурах.

Результаты поляризационных измерений и использование полученного в данной работе аналитического выражения для степени линейной поляризации позволяют определить несоответствие периодов решеток и распределение внутренних деформаций в градиентных структурах.

#### Список литературы

- [1] Кушкимбаева Б. Ж., Матвеев Б. А., Талалакин Г. Н. и др. // Письма ЖТФ. 1988. Т. 14. В. 3. С. 247—250.
- [2] Бир Г. Л., Пикус Г. Е. Симметрия и деформационные эффекты в полупроводниках. М., 1972. 584 с.
- [3] Берт Н. А., Гореленок А. Т., Даигасов А. Г. и др. // ФТП. 1982. Т. 16. В. 1. С. 60—67.
- [4] Матвеев Б. А., Стусь Н. М., Талалакин Г. Н. // Кристаллография. 1988. Т. 32. В. 1. С. 326—221.
- [5] Андрушко А. П., Салихов Х. М., Слободчиков С. В. и др. // ФТП. 1986. Т. 20. В. 12. С. 2195—2198.
- [6] Есина Н. П., Зотова Н. В., Матвеев Б. А. и др. // Письма ЖТФ. 1983. Т. 9. В. 7. С. 391—394.
- [7] Olsen G. H., Nuese C. J., Smith R. T. // J. Appl. Phys. 1978. V. 49. N 11. P. 5523—5529.
- [8] Аверкиев Н. С., Гореленок А. Т., Тараков И. П. // ФТП. 1983. Т. 17. В. 6. С. 997—1002.
- [9] Кушкимбаева Б. Ж., Матвеев Б. А., Стусь Н. М. и др. // Письма ЖТФ. 1988. Т. 14. В. 22. С. 2044—2048.